



Erzeugung Schwerer Quarks in Tief-Inelastischer Streuung (DIS) bei H1

Tatsiana Klimkovich
DESY

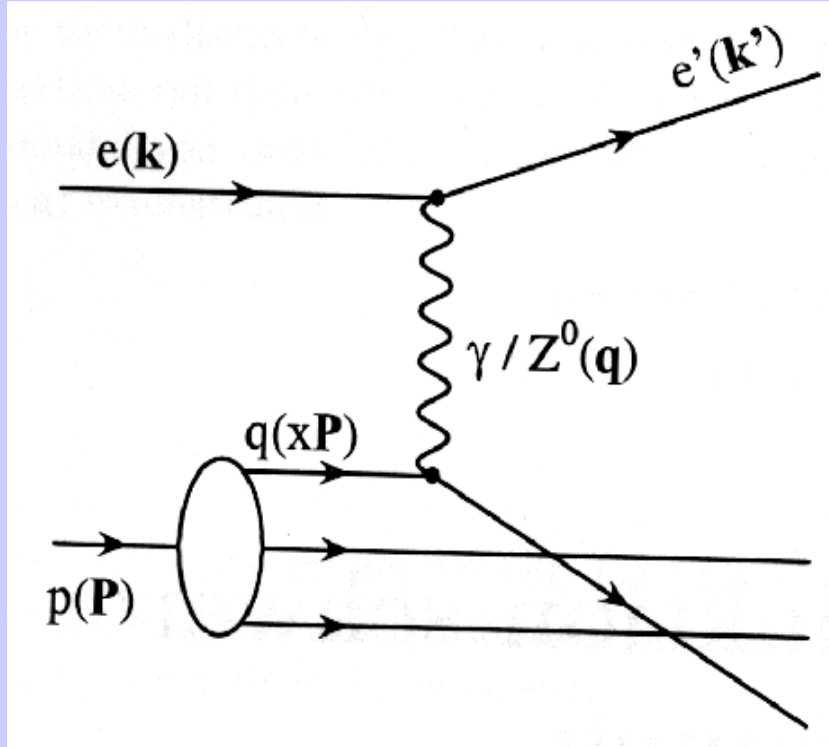
DPG Frühjahrstagung, Berlin, März 2005

Inhalt

- ◆ DCA (Impact Parameter) Methode
- ◆ Jets und Hadronische Endzustände
- ◆ Ergebnisse für die Strukturfunktionen F_2^{cc} und F_2^{bb}
- ◆ Zusammenfassung

Positron-Proton Streuung

Neutraler Strom Prozess



- ◆ Lorenz-Invariante Variablen:
 $s = (P+k)^2$
Eich-Bosonen Virtualität
(Impulsübertrag von e zu p):
 $Q^2 = -\mathbf{q}^2 = -(\mathbf{k}-\mathbf{k}')^2$
- ◆ $Q^2 \approx 0$
 \Rightarrow Photoproduktion (γp)
- ◆ Wir arbeiten mit
 $Q^2 >$ einige GeV
 \Rightarrow Tief-Inelastische Streuung (Deep Inelastic Scattering)

DIS Theorie

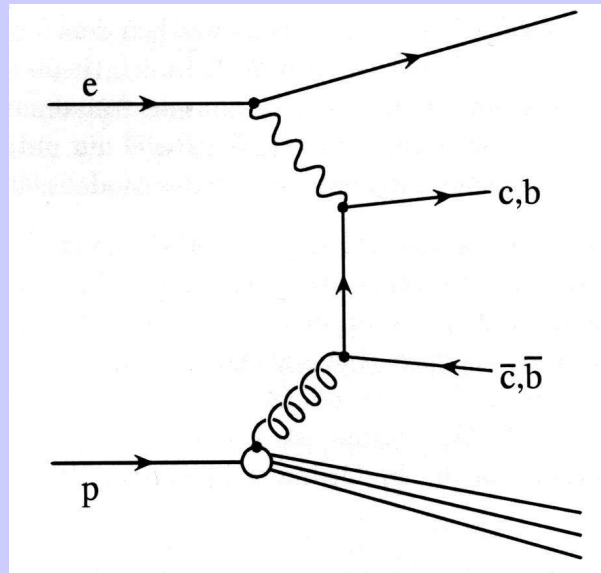
◆ $Q^2 \sim M^2$

„Massives Schema“

LO: BGF + NLO

(Boson-Gluon Fusion)

$$\gamma g \rightarrow q\bar{q}$$



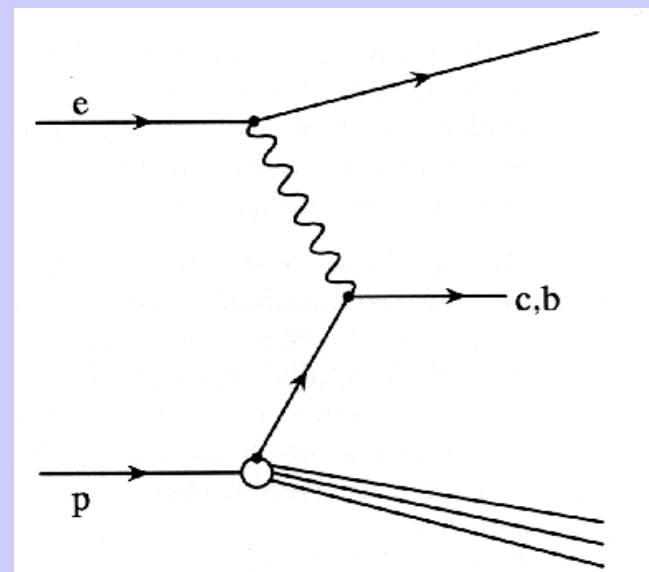
◆ $Q^2 \gg M^2$

„Masseloses Schema“

LO: QPM + NLO

(Quark-Parton Model)

$$\gamma q \rightarrow q$$

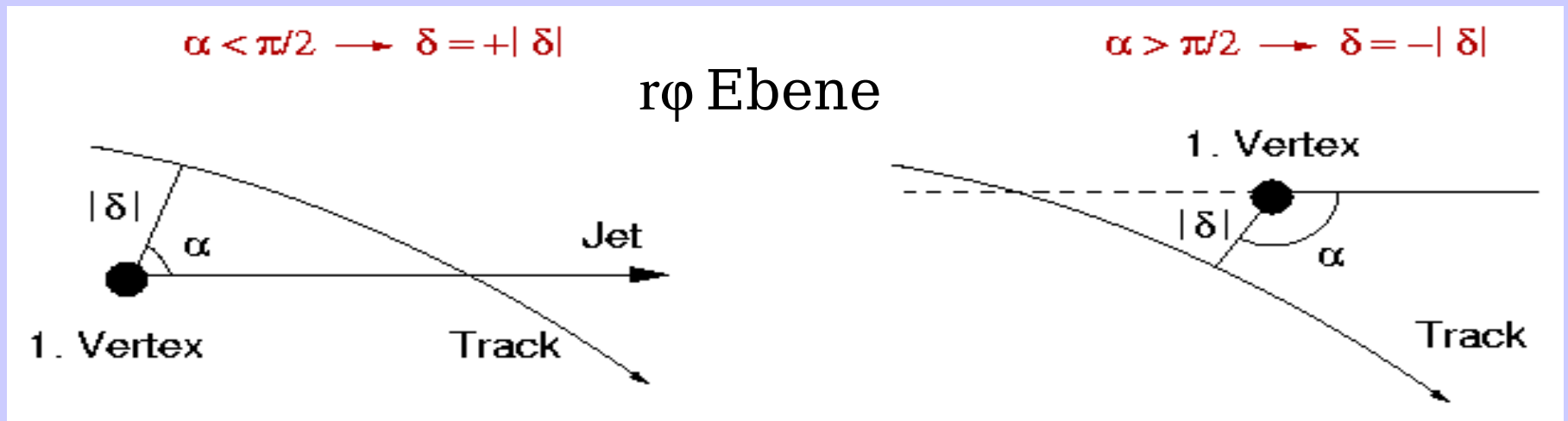


Motivation

- ◆ Verlässliche pQCD Vorhersage
→ \exists gemischte Schemas
- ◆ Messung von **Charm** und **Beauty** in dem Übergangsbereich ist interessant
- ◆ Statistische Begrenzung der **exklusiven** Methoden (z.B. D*)
- ◆ ⇒ **Inklusive Messung:** Basiert auf der **Lebensdauerinformation** schwerer Quarks

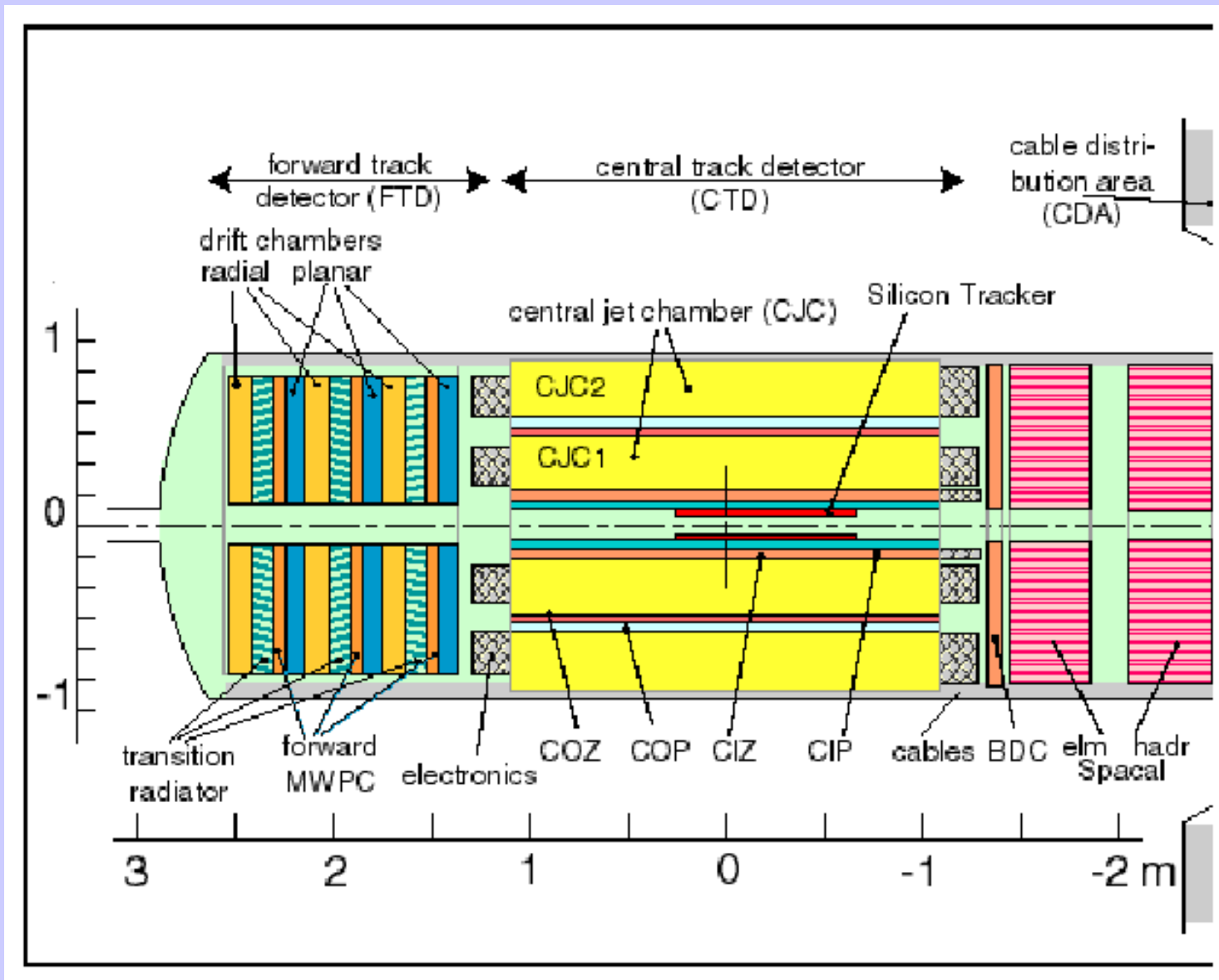
Analyse Methode

Wir benutzen orientierte **DCA**
(Distance of **C**losest **A**pproach \equiv Impact Parameter δ)
von allen Spuren aus CST



- ◆ Zerfälle mit **secundärem Vertex** aus schweren **Quarks** \Rightarrow grosse positive DCA
- ◆ Zerfälle mit **primärem Vertex** aus leichten Quarks \Rightarrow kleine negative und positive DCA aufgrund der Auflösungseffekte

H1 Spur system



Niedrige Q^2 DIS

- ◆ e⁺p Daten 99/2000

$E_p = 920 \text{ GeV}$

$E_e = 27.5 \text{ GeV}$

$\sqrt{s} = 318 \text{ GeV}$

- ◆ Monte Carlo:

rapgap28: $c\bar{c}$

rapgap28: $b\bar{b}$

django: uds

- ◆ Ereignisselektion

- ◆ e^+ in SpaCal

- ◆ $2 \text{ GeV}^2 < Q^2 < 120 \text{ GeV}^2$

- ◆ $E_e > 8 \text{ GeV}$

- ◆ $0.05 < y < 0.7$

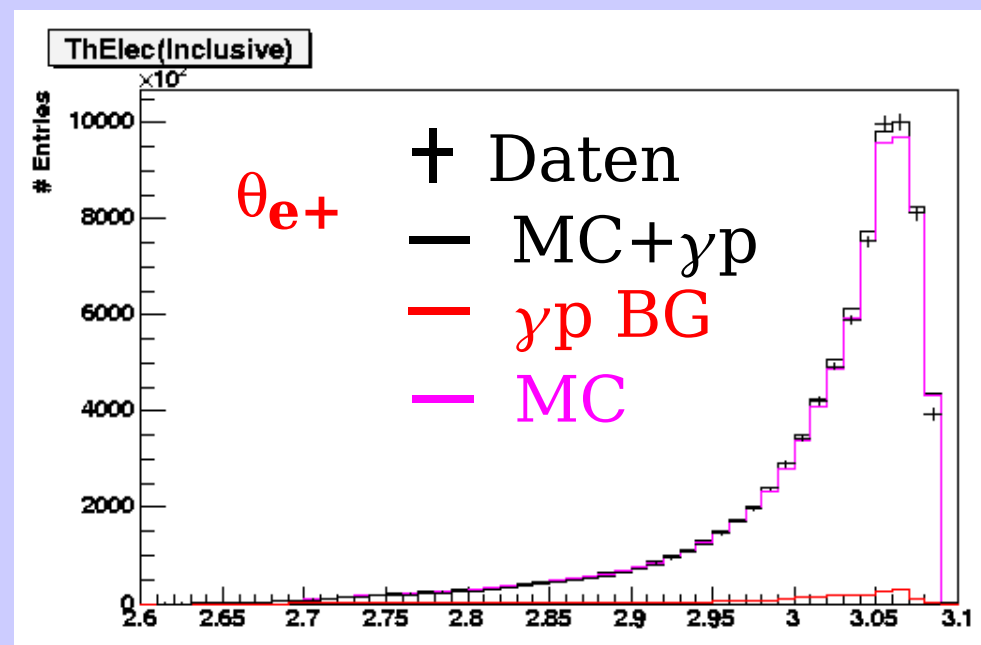
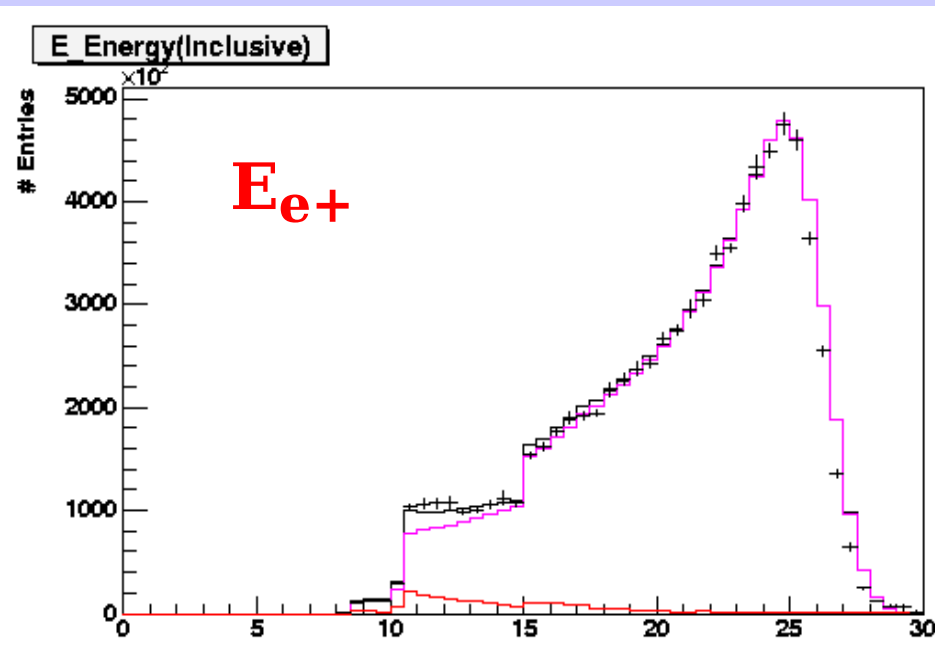
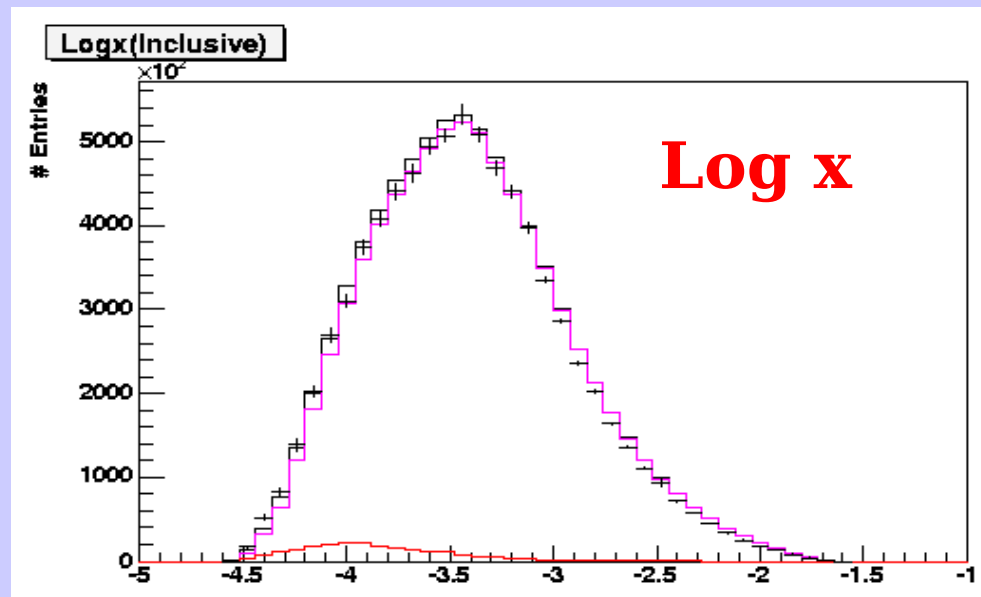
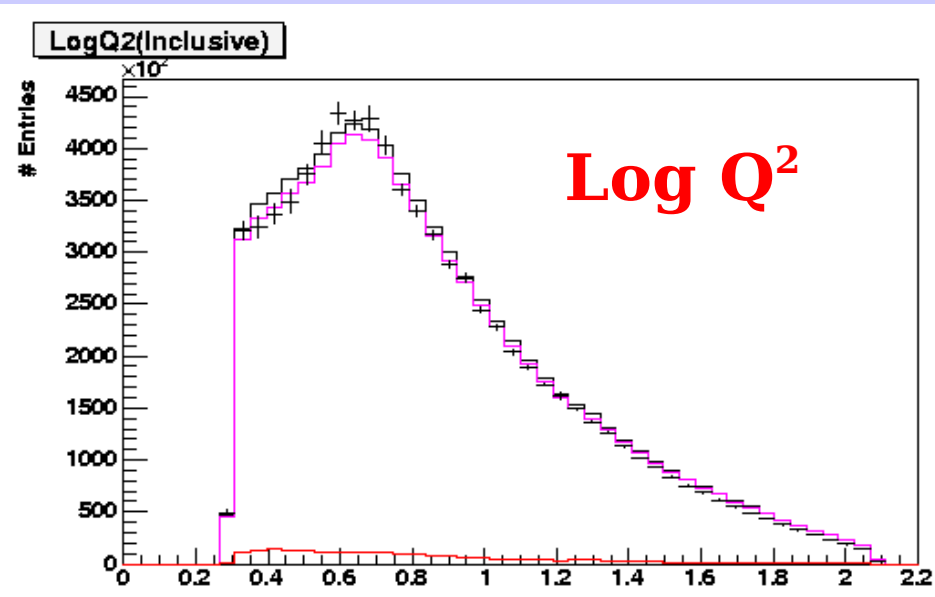
- ◆ $-20\text{cm} < z_{\text{vertex}} < 20\text{cm}$

- ◆ $(E - p_z) > 35 \text{ GeV}$

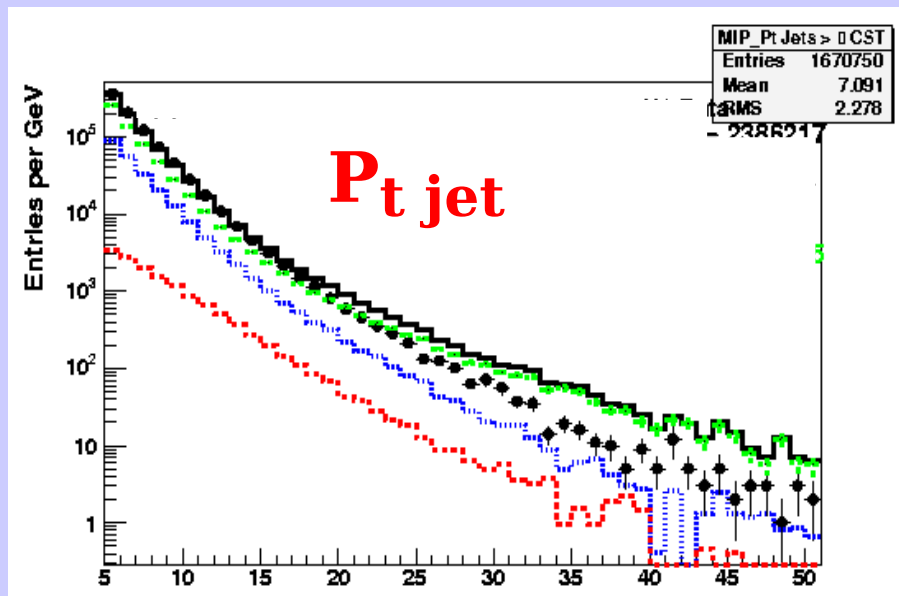
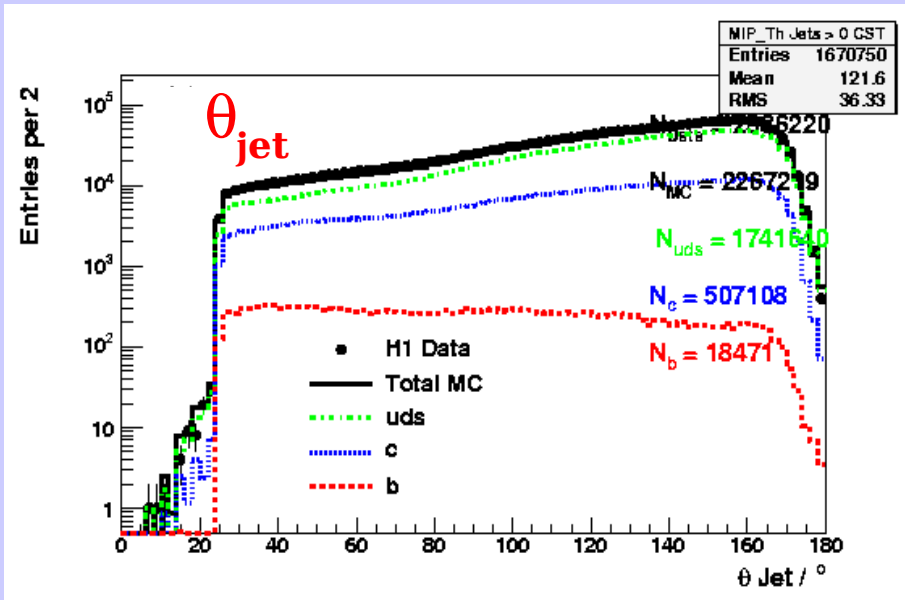
- ◆ (gegen γp und ISR)

- ◆ $R_{e \text{ cluster}} < 4 \text{ cm}$

Kontroll-Plots



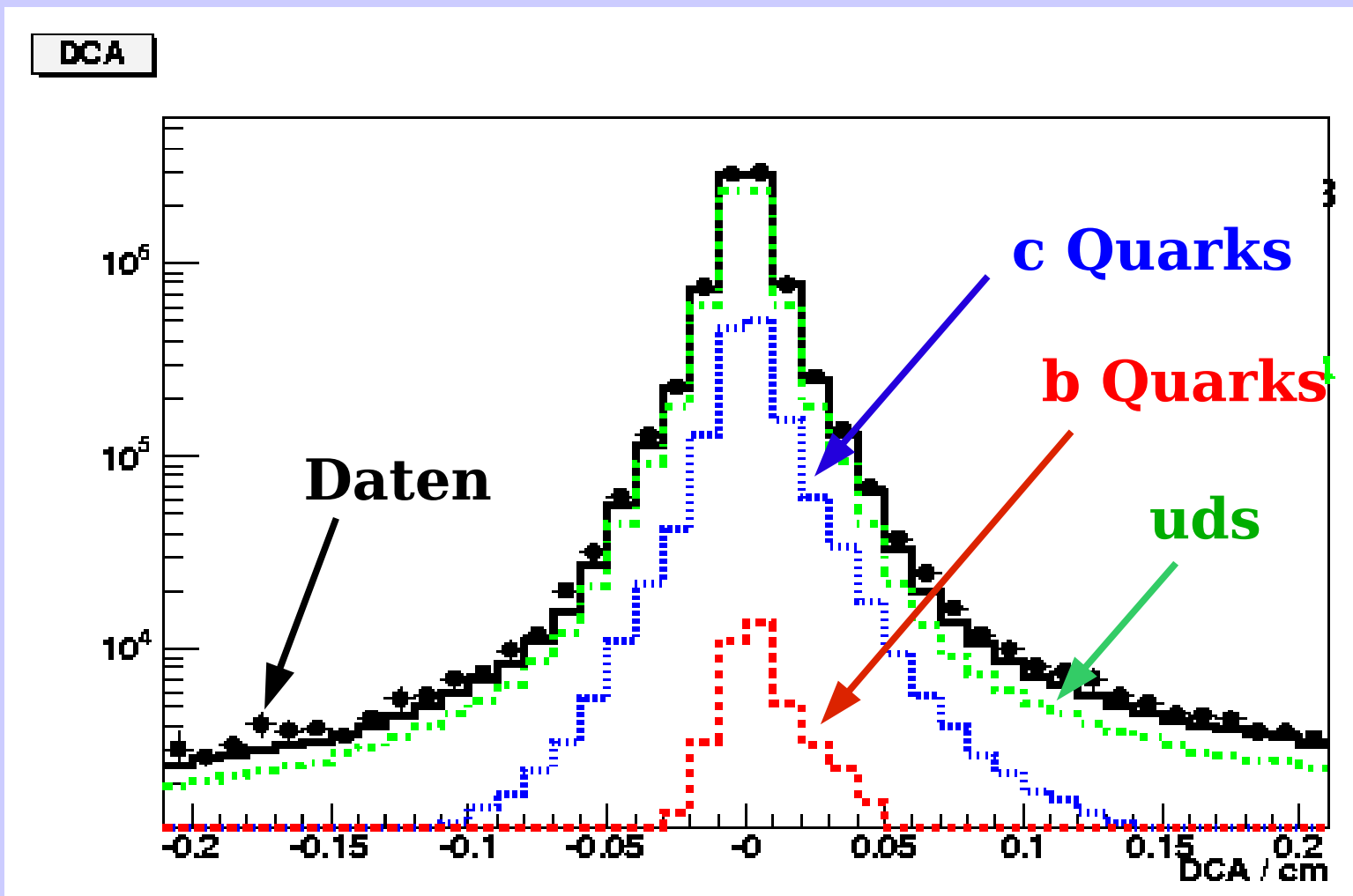
Jet-Achsen Auswahl



- ◆ Jet-Achse gegeben mit:
- ◆ höchstem p_T Jet: inklusive p_T Algorithmus in Laborsystem; $p_T > 4 \text{ GeV}$; $25^\circ < \theta < 155^\circ$;
- ◆ Sonst Hadronische Endzustände (HFS)
- ◆ 33% aller Ereignisse haben Jet-Richtung

Die Spuren zu Jets innerhalb $\Delta\phi < \pi/2$ zusammengefasst

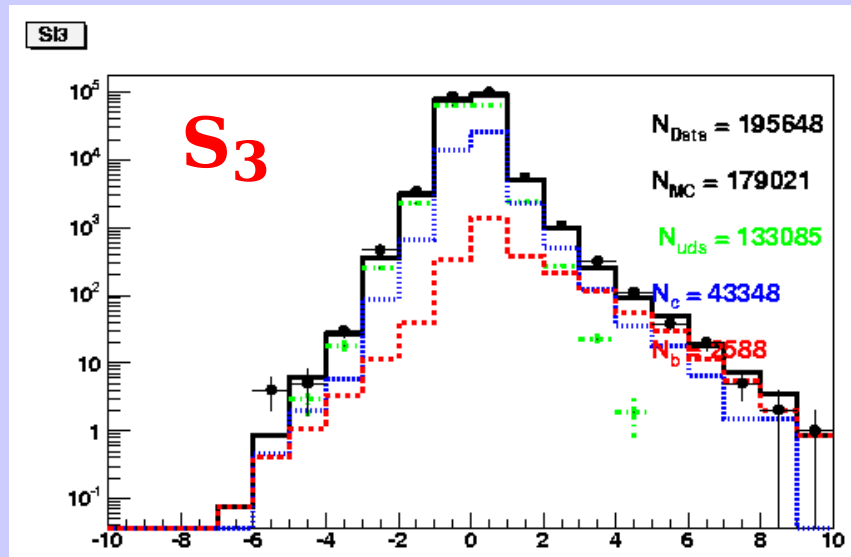
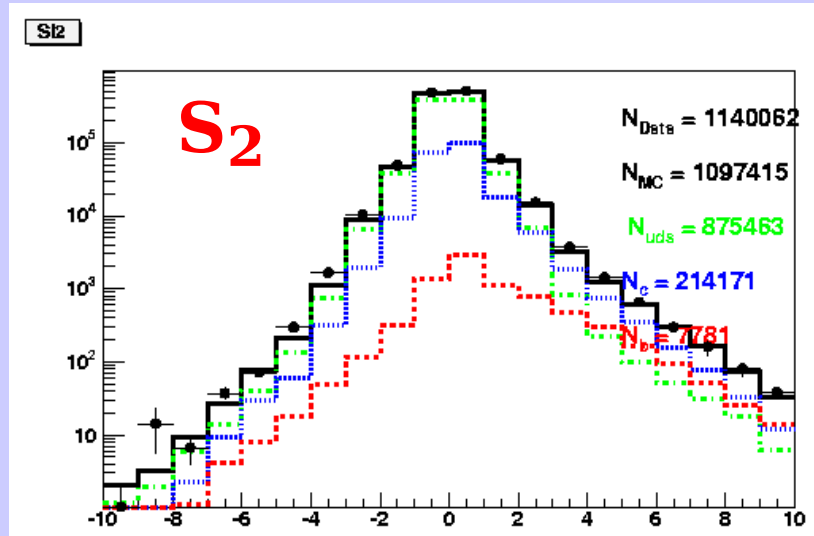
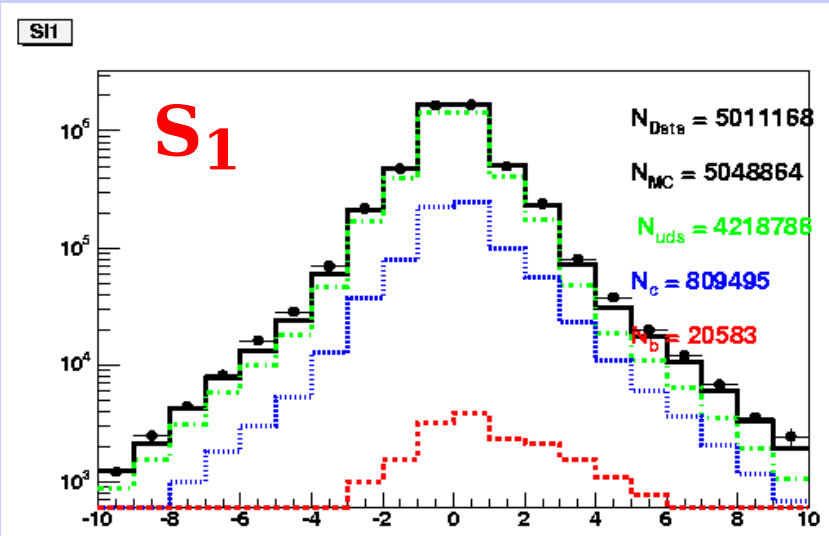
Impact Parameter (DCA)



Asymmetrie der **c** und **b** Verteilungen

Schnitt $|DCA| < 0.1$

Signifikanz nach dem DCA Schnitt



Signifikanz jeder Spur:
 $\mathbf{S} = \delta/\sigma(\delta)$

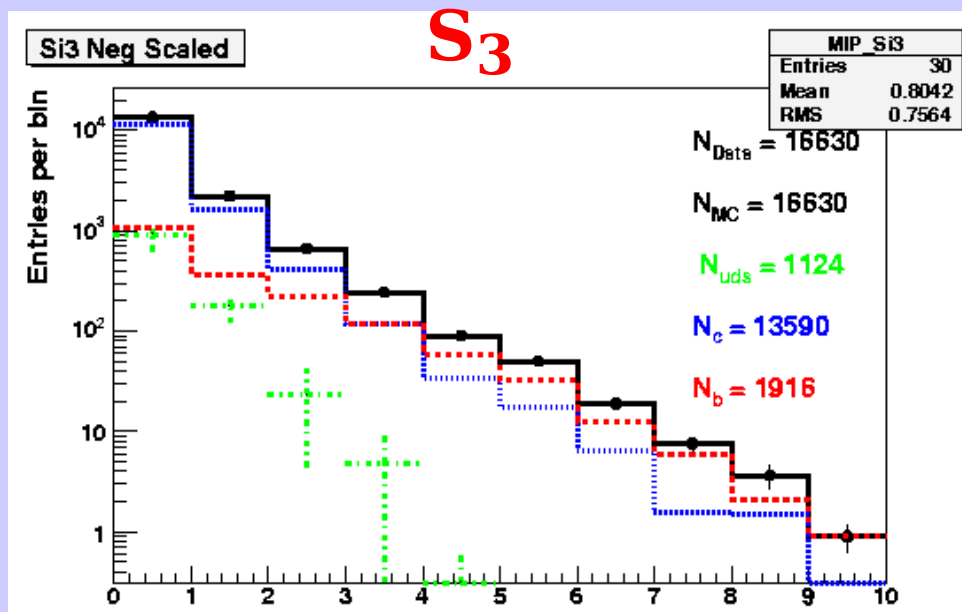
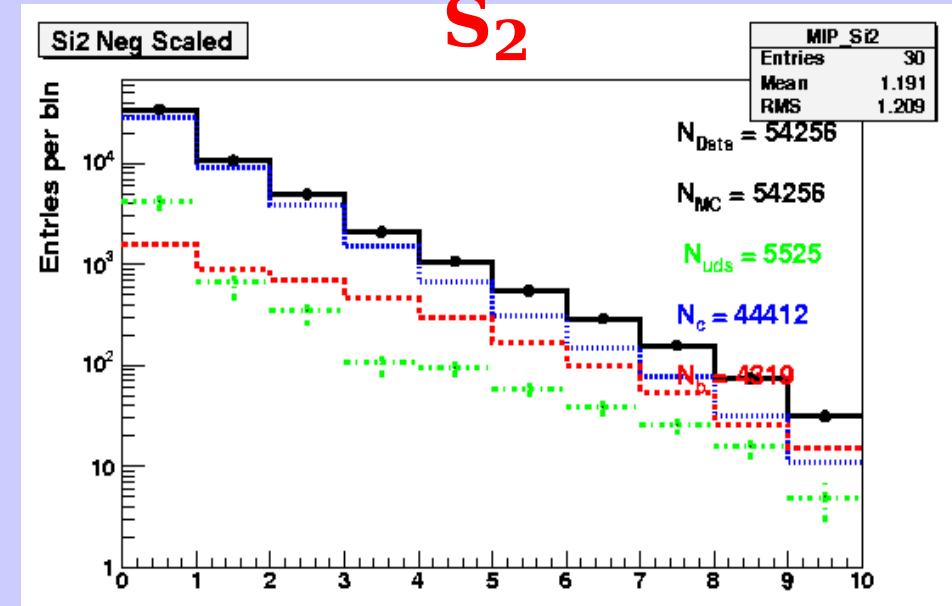
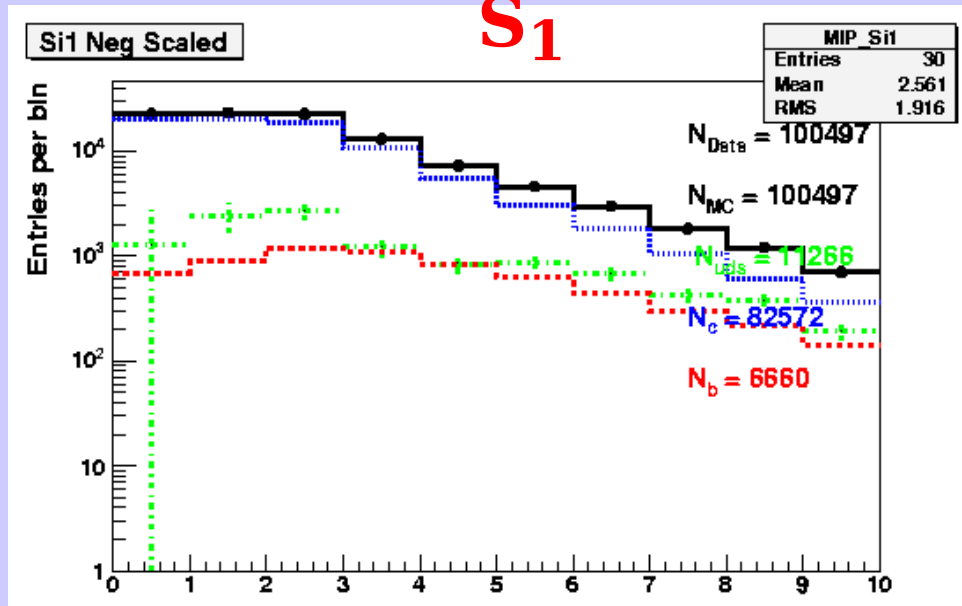
S₁: Höchste Signifikanz Spur

S₂: Zweite höchste Signifikanz

S₃: Dritte höchste Signifikanz

S₂ und **S₃** sind zum Beauty empfindlich aufgrund höher Multiplizität

Negative Subtraktion der S_i



Für einige $(x-Q^2)$ Bins:

Gleichzeitige S_i Anpassung
und Extraktion von
 c -, b -, uds -Bruchteilen

Benutzen von MC als
Schablone

Anpassung und Strukturfunktionen

Three parameter fit

- MC scale factor c - P_c
- MC scale factor b - P_b
- MC scale factor uds - P_l (now also allowed to be completely free)

to S_1, S_2, S_3

- All events in x, Q^2 bin ($N_{\text{TOT}}^{\text{data}}$, $N_{uds\text{TOT}}^{\text{MC}}$, $N_{c\text{TOT}}^{\text{MC}}$, $N_{b\text{TOT}}^{\text{MC}}$)

$$\chi^2 = \sum_{\text{bins}} \frac{(N_{\text{tot}}^{\text{data}} - P_c N_c^{\text{MC}} - P_b N_b^{\text{MC}} - P_l N_l^{\text{MC}})^2}{\sigma(N_{\text{tot}}^{\text{data}})^2} + \frac{(N_{\text{tot}}^{\text{data}} - P_c N_{\text{totc}}^{\text{MC}} - P_b N_{\text{totb}}^{\text{MC}} - P_l N_{\text{totuds}}^{\text{MC}})^2}{\sigma^2(N_{\text{tot}}^{\text{data}})}$$

Fits uses full data and MC errors (not shown in χ^2).

$$\frac{d\sigma^{c\bar{c}}}{dx dQ^2} = \frac{d\sigma}{dx dQ^2} \frac{P_c N_c^{\text{MCgen}}}{P_c N_c^{\text{MCgen}} + P_b N_b^{\text{MCgen}} + P_l N_l^{\text{MCgen}}}$$

$$f_{c\bar{c}} = \frac{d\sigma^{c\bar{c}}/dx dQ^2}{d\sigma/dx dQ^2},$$

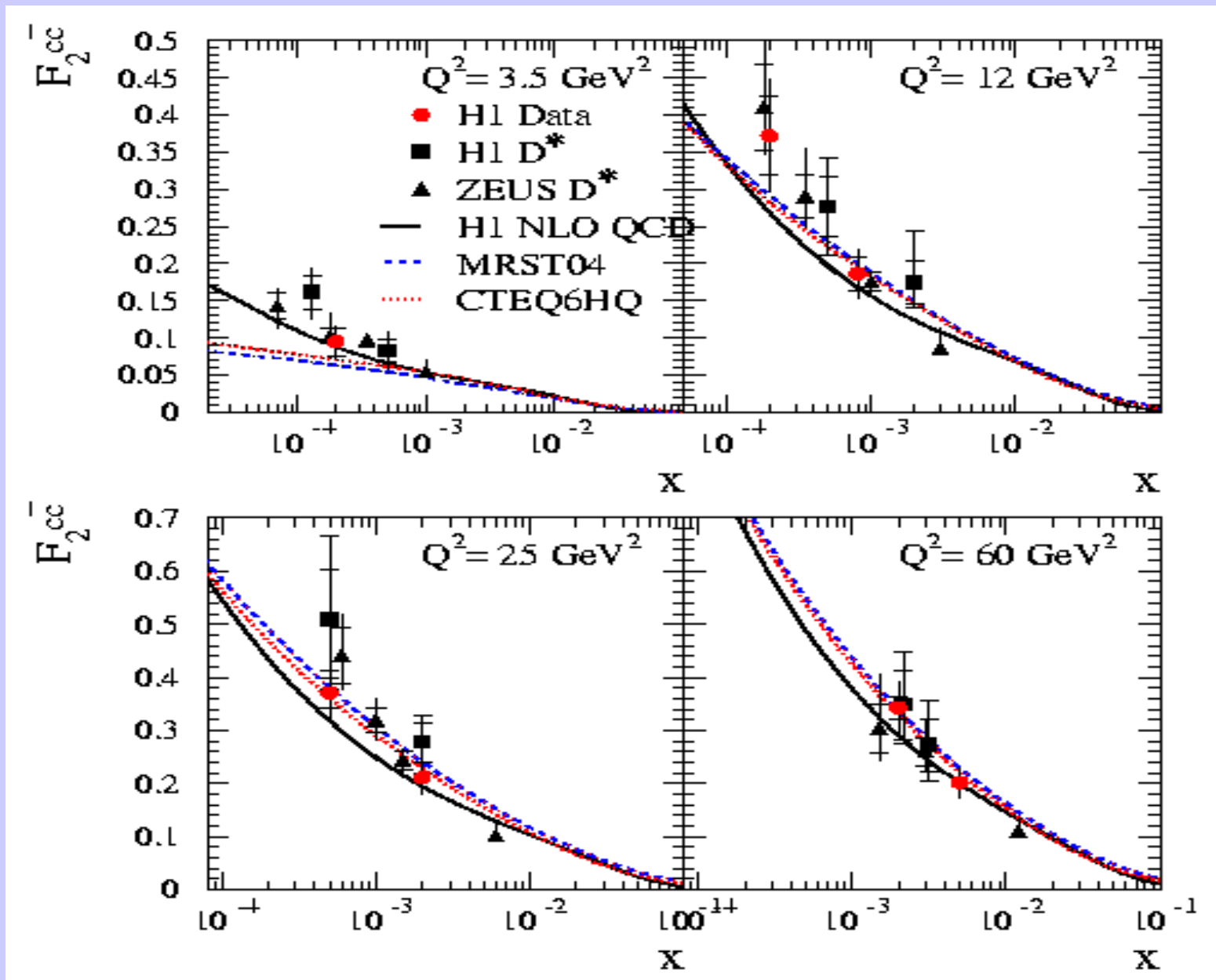
$$\frac{d\sigma^{c\bar{c}}}{dx dQ^2} = \frac{2\pi\alpha^2}{x Q^4} ((1 + (1 - y)^2) F_2^{c\bar{c}} - y^2 F_L^{c\bar{c}}),$$

$$F_L^{c\bar{c}}/F_2^{c\bar{c}} = F_L/F_2.$$

Systematische Fehler

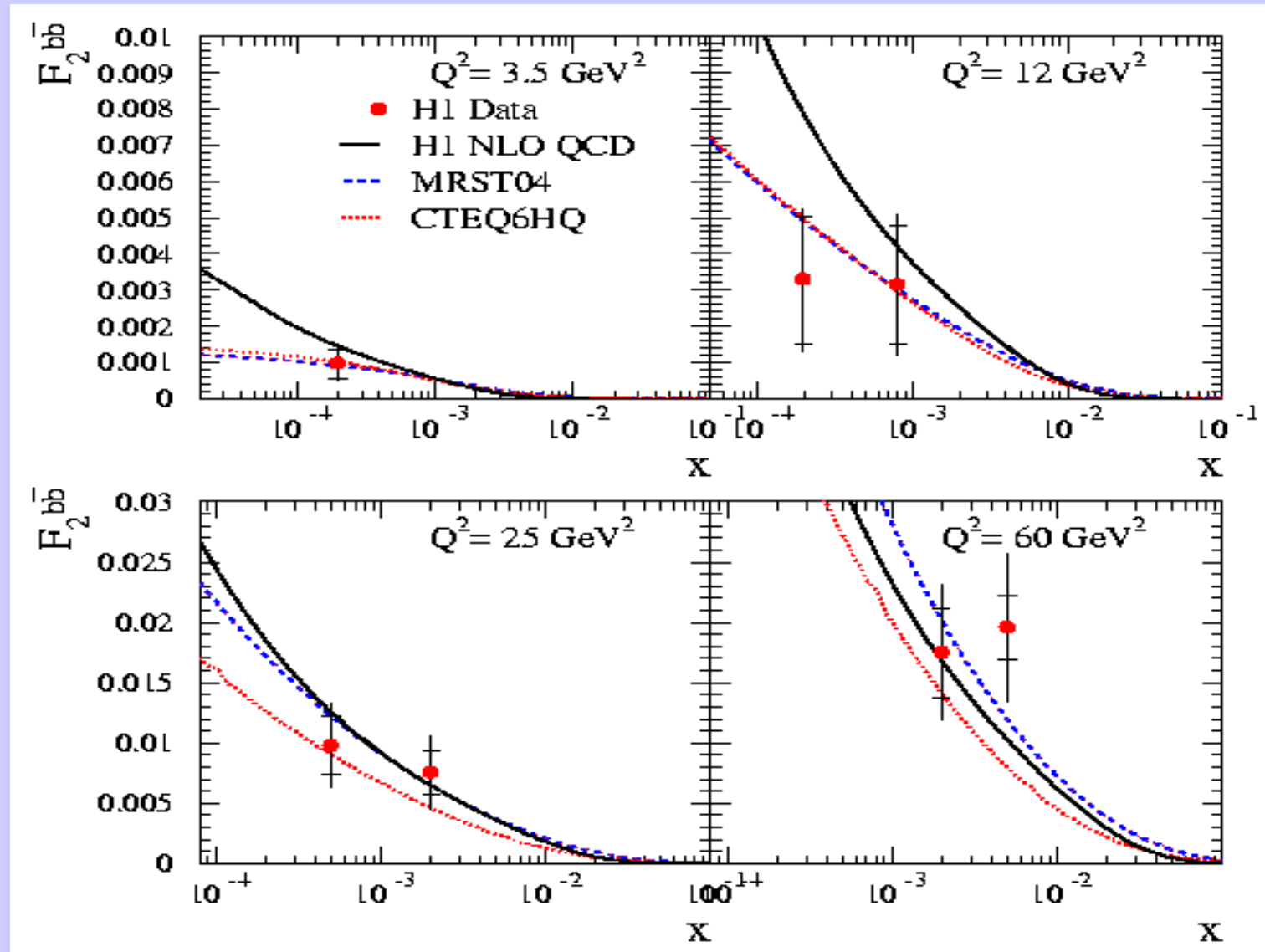
source	uncertainty	error $c\bar{c}$ / %	error $b\bar{b}$ / %
Track efficiency	2.23 (2% CJC, 1% CST)	1	8
DCA resolution	$\pm 25\mu m$ ($\pm 200\mu m$ tails)	1.5	17
s asymmetry	50% uncertainty	6.5	0.8
Fragmentation	LUND / Peterson	2.5	0.5
QCD model	Rapgap/CASCADE	9	17
B Multiplicity	LEP / SLD	0.2	3.5
D Multiplicity	MARKIII	2.5	4
Branching fractions	PDG	1.8	2.7
Meson Lifetimes	PDG	0.4	1
Jet(HFS) Axis	$2^\circ(5^\circ)$ shift	2	7
total		13	28

Ergebnisse: Strukturfunktion F_2^{cc}



Ergebnisse: Strukturfunktion F_2^{bb}

(erste Messung in niedrigem Q^2 Bereich)



Zusammenfassung

- ◆ Inclusive Messung von F_2^{cc} und F_2^{bb} in niedrigem Q^2 DIS ist durchgeführt
- ◆ Gute Übereinstimmung von F_2^{cc} mit vorherigen Messungen
- ◆ Erste Messung von F_2^{bb} in niedrigem Q^2 Bereich
- ◆ Messungen sind kompatibel mit NLO Berechnungen